

## 上节内容

3.8 卷积定理

3.9 周期信号的傅里叶变换

3.10 抽样信号的傅里叶变换

3.11 抽样定理

(1) 时域卷积定理：两信号的时域卷积等效于在频域中频谱相乘。

$$\text{若 } F_1(\omega) = \mathbf{F}[f_1(t)], \quad F_2(\omega) = \mathbf{F}[f_2(t)],$$

$$\text{则 } \mathbf{F}[f_1(t) * f_2(t)] = F_1(\omega) F_2(\omega)$$

(2) 频域卷积定理：两信号的频域卷积等效于在时域中函数相乘（再除以 $2\pi$ ）。

$$\text{若 } F_1(\omega) = \mathbf{F}[f_1(t)], \quad F_2(\omega) = \mathbf{F}[f_2(t)],$$

$$\text{则 } \mathbf{F}[f_1(t) \cdot f_2(t)] = \frac{1}{2\pi} F_1(\omega) * F_2(\omega)$$

$$\text{其中: } F_1(\omega) * F_2(\omega) = \int_{-\infty}^{\infty} F_1(u) F_2(\omega - u) du$$



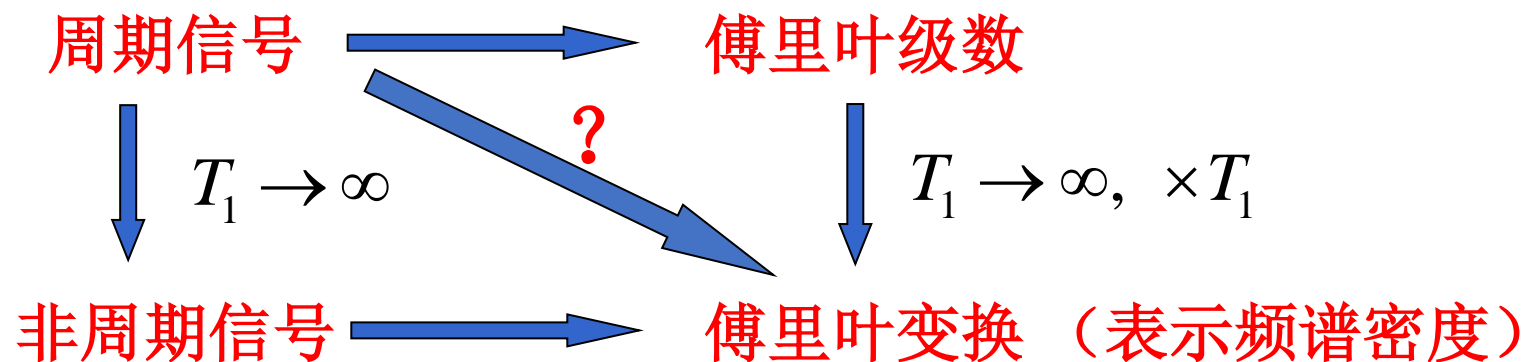
如一时间信号作用于系统，其输出仍是此时间信号，只是幅度与相位被改变，称此时间信号为系统的特征信号，表征被改变的幅度和相位的函数，称为系统的特征值或系统函数。

所以信号  $e^{j\omega_0 t}$ ， $\cos(\omega_0 t)$  和  $\sin(\omega_0 t)$  是系统的特征信号，函数  $H(\omega)$

（系统单位冲激响应  $h(t)$  的傅里叶变换）是系统的特征值或系统函数，也称为系统的频率响应。

$$\cos(\omega_0 t) \longrightarrow \boxed{h(t)} \longrightarrow y(t) = \cos(\omega_0 t) * h(t)$$

$$\begin{aligned} y(t) &= h(t) * \cos(\omega_0 t) = \frac{1}{2} h(t) * (e^{j\omega_0 t} + e^{-j\omega_0 t}) \\ &= \frac{1}{2} |H(\omega_0)| \left( e^{j[\omega_0 t + \varphi(\omega_0)]} + e^{-j[\omega_0 t + \varphi(\omega_0)]} \right) = |H(\omega_0)| \cos[\omega_0 t + \varphi(\omega_0)] \end{aligned}$$



### 3.9.1 正弦、余弦信号的傅里叶变换

$$\mathbf{F}[\cos \omega_0 t] = \pi[\delta(\omega + \omega_0) + \delta(\omega - \omega_0)]$$

$$\mathbf{F}[\sin \omega_0 t] = j\pi[\delta(\omega + \omega_0) - \delta(\omega - \omega_0)]$$

$$\mathbf{F}[e^{j\omega_0 t}] = 2\pi\delta(\omega - \omega_0)$$

### 3.9.2 一般周期信号的傅里叶变换

**思路1:**

$$f_{T_1}(t) = \sum_{n=-\infty}^{\infty} F_n e^{jn\omega_1 t} \leftrightarrow F_{T_1}(\omega) = 2\pi \sum_{n=-\infty}^{\infty} F_n \delta(\omega - n\omega_1)$$

傅里叶级数和单脉冲信号傅里叶变换的关系

$$F_n = \frac{1}{T_1} F_0(\omega) \Big|_{\omega=n\omega_1}$$

**思路2:**

$$f_{T_1}(t) = \delta_{T_1}(t) * f_0(t) \leftrightarrow F_{T_1}(\omega) = \omega_1 \sum_{n=-\infty}^{\infty} F_0(n\omega_1) \delta(\omega - n\omega_1)$$

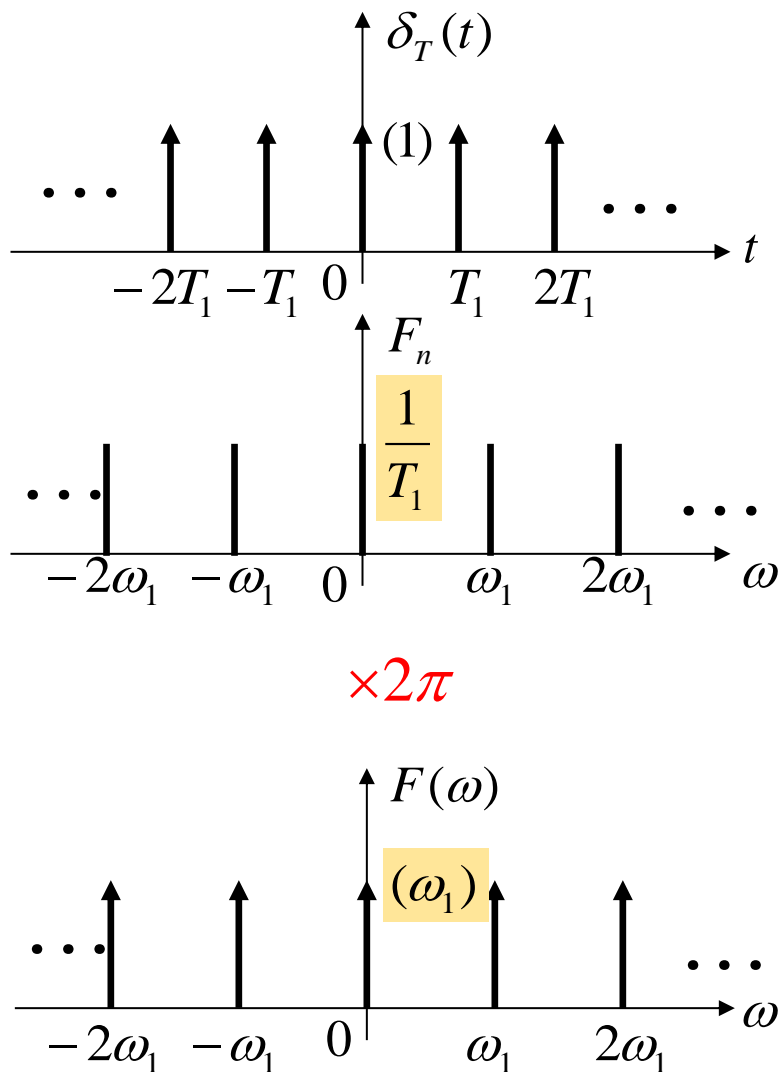
单位冲激序列与单脉冲信号的卷积

时域卷积，频域相乘

**结论:**

周期信号  $f_{T_1}(t)$  的傅里叶变换是由一系列冲激函数所组成，这些冲激位于信号的谐频处  $(0, \pm\omega_1, \pm2\omega_1, \dots)$ ，每个冲激的强度等于  $f_{T_1}(t)$  的傅里叶级数相应系数  $F_n$  的  $2\pi$  倍。

求周期单位冲激序列的傅里叶变换。



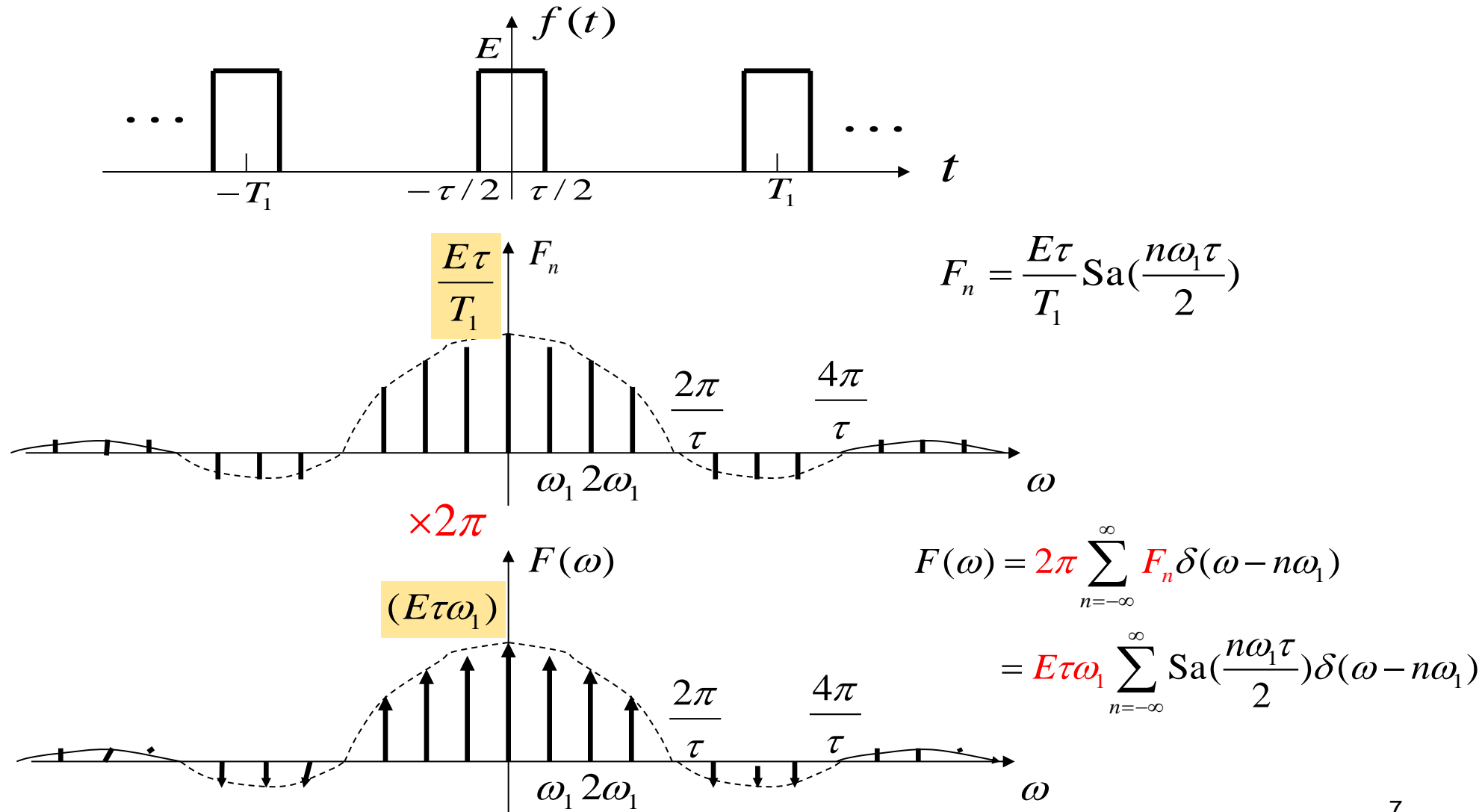
$$\delta_T(t) = \sum_{n=-\infty}^{\infty} \delta(t - nT_1)$$

$$F_n = \frac{1}{T_1} \int_{-T_1/2}^{T_1/2} \delta(t) e^{-jn\omega_1 t} dt = \frac{1}{T_1} \int_{-T_1/2}^{T_1/2} \delta(t) dt = \frac{1}{T_1}$$

$$\delta_T(t) = \sum_{n=-\infty}^{\infty} F_n e^{jn\omega_1 t} = \frac{1}{T_1} \sum_{n=-\infty}^{\infty} e^{jn\omega_1 t}$$

$$F(\omega) = \frac{2\pi}{T_1} \sum_{n=-\infty}^{\infty} \delta(\omega - n\omega_1) = \omega_1 \sum_{n=-\infty}^{\infty} \delta(\omega - n\omega_1)$$

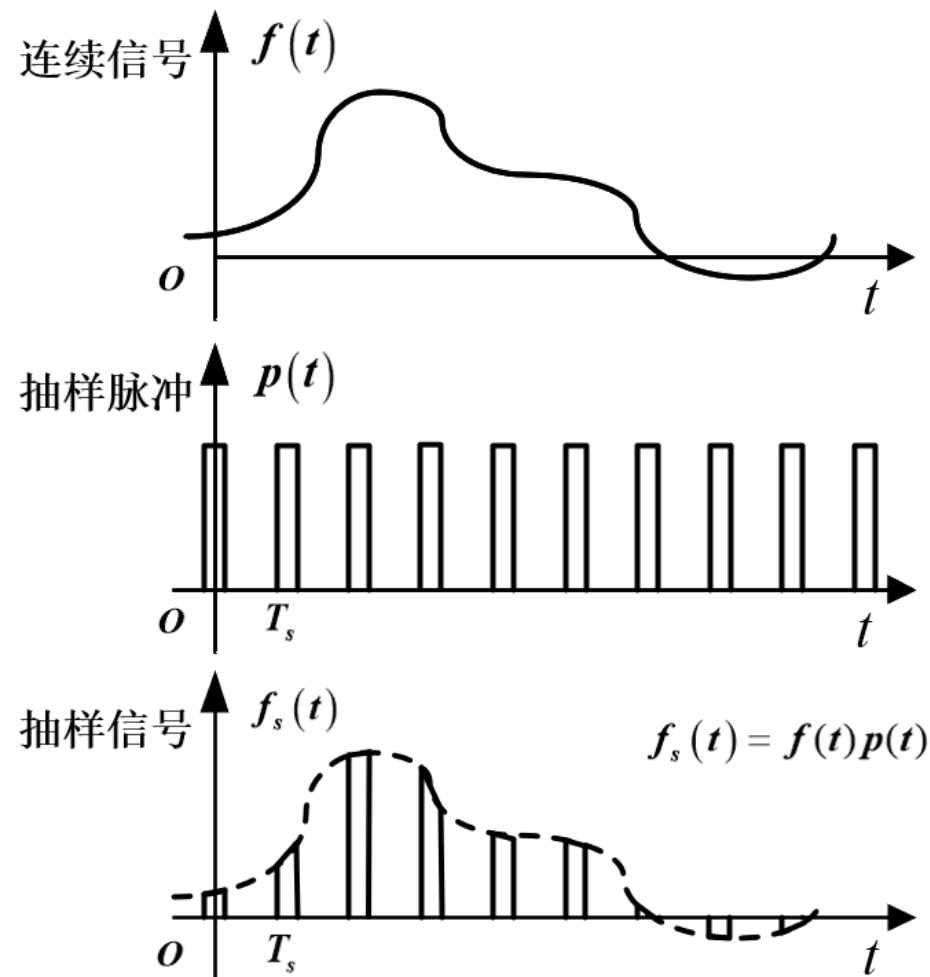
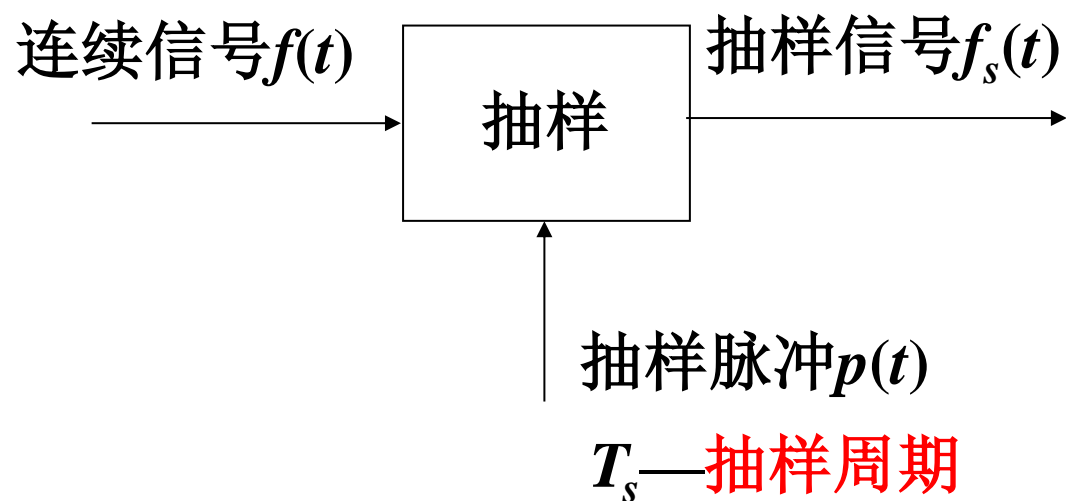
求周期矩形脉冲信号的傅里叶级数及傅里叶变换。已知周期矩形脉冲信号  $f(t)$  的幅度为  $E$ ，脉宽为  $\tau$ ，周期为  $T_1$ ，角频率为  $\omega_1 = 2\pi/T_1$ 。



### 3.10.1 信号的抽样

**抽样**--利用抽样脉冲序列从连续信号中“抽样”一系列的离散样值。

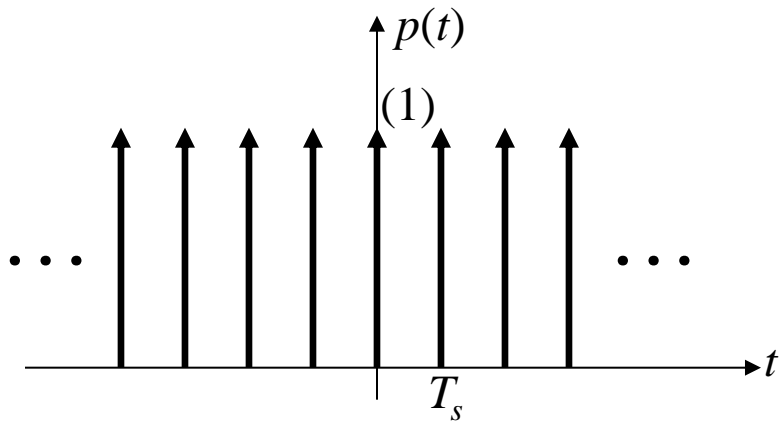
这种离散信号通常称为“**抽样信号**”。





### 3.10.2 抽样信号的傅里叶变换

若抽样脉冲  $p(t)$  是冲激序列，此时称为“冲激抽样”或“理想抽样”。

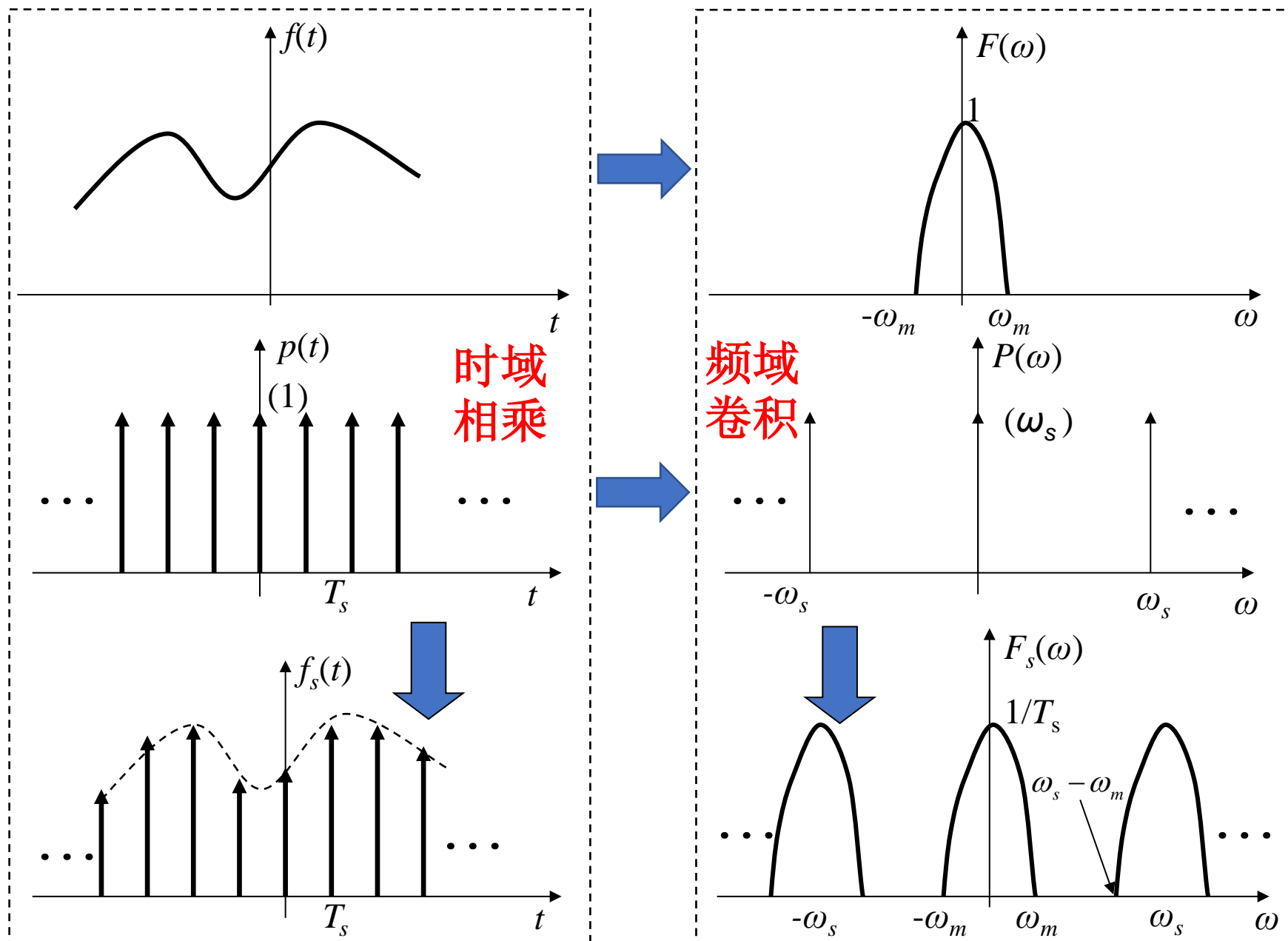


$$p(t) = \delta_T(t) = \sum_{n=-\infty}^{\infty} \delta(t - nT_s)$$

$$\begin{aligned} F_s(\omega) &= \sum_{n=-\infty}^{\infty} P_n \cdot F(\omega - n\omega_s) \\ &= \frac{1}{T_s} \sum_{n=-\infty}^{\infty} F(\omega - n\omega_s) \end{aligned}$$

在频域以  $\omega_s$   
为周期延拓

$$\text{其中: } P_n = \frac{1}{T_s} \int_{-\frac{T_s}{2}}^{\frac{T_s}{2}} \delta(t) e^{-jn\omega_s t} dt = \frac{1}{T_s}$$



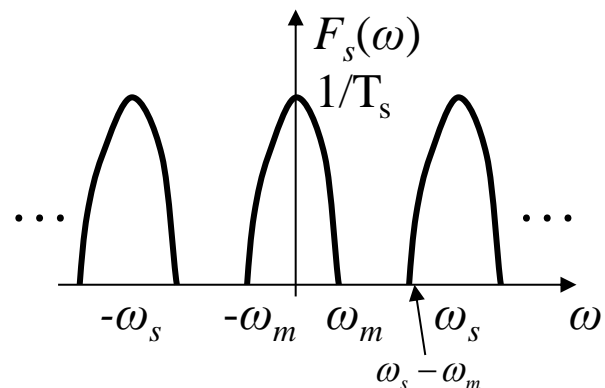
**时域抽样定理：** 一个频谱受限的信号 $f(t)$ ，如果频谱只占据 $-\omega_m \sim \omega_m$ 的范围，在抽样间隔不大于 $\frac{1}{2f_m}$ （其中 $\omega_m = 2\pi f_m$ ）或者抽样频率大于等于 $2f_m$ 时，信号 $f(t)$ 可以用等间隔的抽样值唯一的表示。

**奈奎斯特抽样频率：** 最低允许的抽样频率。

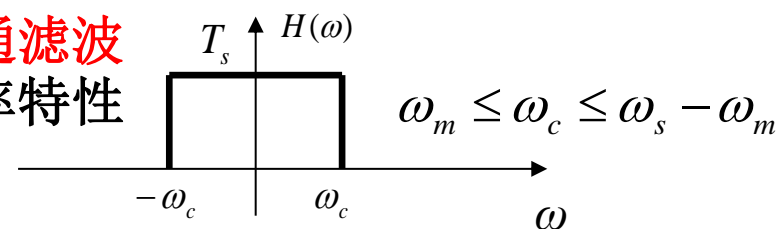
$$f_{s \min} = 2f_m$$

**奈奎斯特抽样间隔：** 最大允许的抽样间隔。

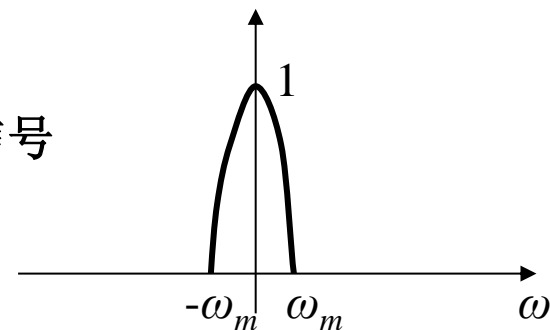
$$T_{s \max} = \frac{1}{f_{s \min}} = \frac{1}{2f_m}$$



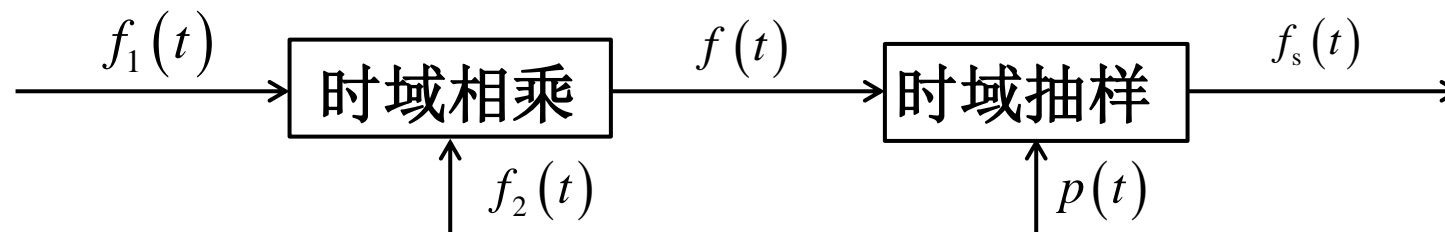
**理想低通滤波器**  
的频率特性



恢复原信号



如图所示,  $f_1(t) = Sa(1000\pi t)$ ,  $f_2(t) = Sa(2000\pi t)$ ,  $p(t) = \sum_{n=-\infty}^{\infty} \delta(t - nT)$ 。



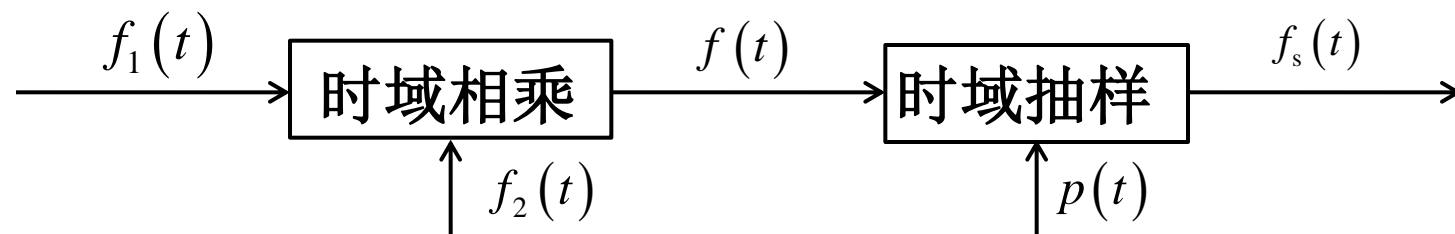
为从  $f_s(t)$  无失真恢复  $f(t)$ , 最大抽样间隔  $T_{\max}$  为 ( )。

- ☐ A 1000 s
- ☐ B  $3000\pi$  s
- ☐ C  $\pi/3000$  s
- ☒ D  $1/3000$  s

提交

例3-17：如图所示，  $f_1(t) = Sa(1000\pi t)$ ,  $f_2(t) = Sa(2000\pi t)$ ,

$$p(t) = \sum_{n=-\infty}^{\infty} \delta(t - nT) \circ f(t) = f_1(t) f_2(t), f_s(t) = f(t) p(t)。$$



- (1) 为从  $f_s(t)$  无失真恢复  $f(t)$ ，求最大抽样间隔  $T_{\max}$ 。
- (2) 当  $T = T_{\max}$  时，画出  $f_s(t)$  的幅度谱  $|F_s(\omega)|$ 。

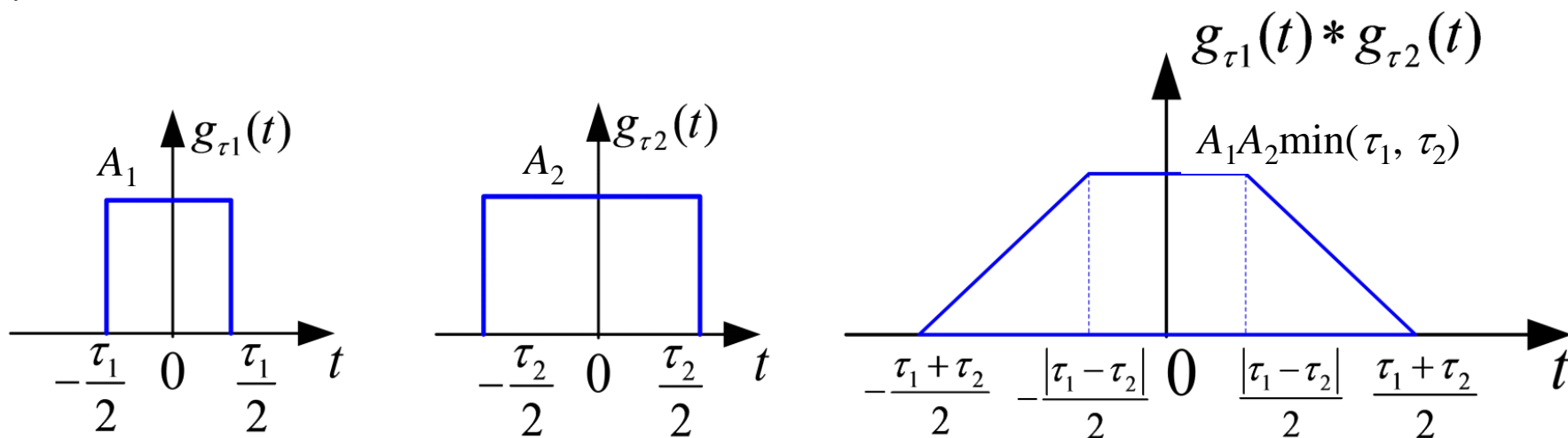
**解：** (1) 由于

$$f_1(t) = Sa(1000\pi t) \leftrightarrow 10^{-3} [u(\omega + 1000\pi) - u(\omega - 1000\pi)] = F_1(\omega)$$

$$f_2(t) = Sa(2000\pi t) \leftrightarrow \frac{1}{2} 10^{-3} [u(\omega + 2000\pi) - u(\omega - 2000\pi)] = F_2(\omega)$$

## 回顾：矩形脉冲卷积产生梯形脉冲

两个矩形脉冲 $g_{\tau_1}(t)$ 和 $g_{\tau_2}(t)$ ，脉冲宽度分别为 $\tau_1$ 和 $\tau_2$ ，幅度分别为 $A_1$ 和 $A_2$ ，求卷积 $g_{\tau_1}(t)*g_{\tau_2}(t)$ 。

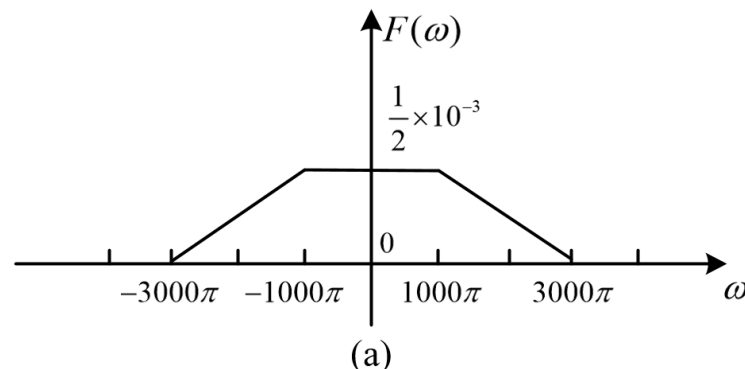


- 两个不等宽的矩形脉冲卷积的结果为梯形函数，梯形函数的高度为两个矩形高度和较窄矩形宽度三者的乘积，其上底为两个矩形宽度之差的绝对值，下底为两个矩形宽度之和。

$$\begin{aligned}
 \text{则 } F(\omega) &= \frac{1}{2\pi} F_1(\omega) * F_1(\omega) \\
 F(\omega) &= \frac{10^{-6}}{4\pi} [u(\omega + 1000\pi) - u(\omega - 1000\pi)] * [u(\omega + 2000\pi) - u(\omega - 2000\pi)] \\
 &= \frac{10^{-6}}{4\pi} \{u(\omega) * [\delta(\omega + 1000\pi) - \delta(\omega - 1000\pi)] * u(\omega) * [\delta(\omega + 2000\pi) - \delta(\omega - 2000\pi)]\} \\
 &= \frac{10^{-6}}{4\pi} [u(\omega) * u(\omega)] * [\delta(\omega + 1000\pi) - \delta(\omega - 1000\pi)] * [\delta(\omega + 2000\pi) - \delta(\omega - 2000\pi)] \\
 &= \frac{10^{-6}}{4\pi} \{\omega u(\omega) * [\delta(\omega + 3000\pi) - \delta(\omega - 1000\pi) - \delta(\omega + 1000\pi) + \delta(\omega - 3000\pi)]\} \\
 &= \frac{10^{-6}}{4\pi} [(\omega + 3000\pi)u(\omega + 3000\pi) - (\omega - 1000\pi)u(\omega - 1000\pi) - (\omega + 1000\pi)u(\omega + 1000\pi) + (\omega - 3000\pi)u(\omega - 3000\pi)] \\
 &= \frac{10^{-6}}{4\pi} \{(\omega + 3000\pi)[u(\omega + 3000\pi) - u(\omega + 1000\pi)] + 2000\pi[u(\omega + 1000\pi) - u(\omega - 1000\pi)] \\
 &\quad + (-\omega + 3000\pi)[u(\omega - 1000\pi) - u(\omega - 3000\pi)]\}
 \end{aligned}$$

从图可见  $\omega_m = 3000\pi$

$$T_{\max} = \frac{\pi}{\omega_m} = \frac{1}{3000} \text{ s}$$

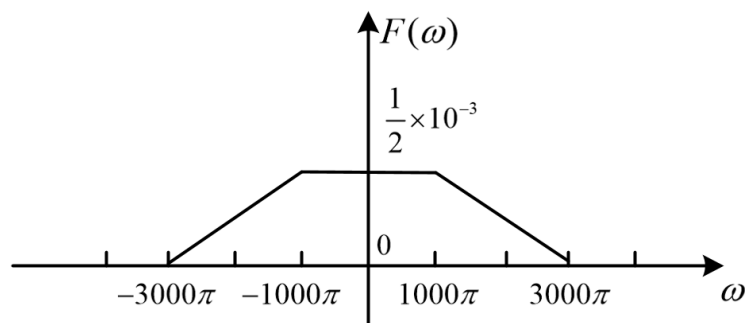


(2) 对于冲激抽样，抽样信号的频谱

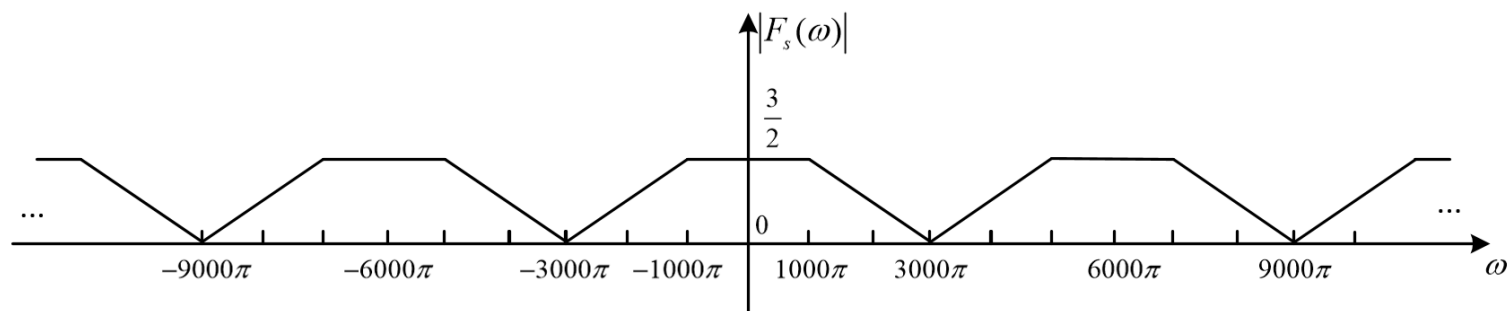
$$F_s(\omega) = \frac{1}{T_s} \sum_{n=-\infty}^{\infty} F(\omega - n\omega_s)$$

当  $T_s = T_{\max}$  时

$$\omega_s = \frac{2\pi}{T_{\max}} = 2\omega_m = 6000\pi$$



(a)



(b)



## 本次课内容

- 4.1 引言
- 4.2 拉普拉斯变换的定义、收敛域
- 4.3 拉普拉斯变换的基本性质

## 本次课目标

1. 理解拉普拉斯变换的定义及其与傅里叶变换的关系；
2. 熟悉拉普拉斯变换的基本性质。

## 4.1 引言

4.2 拉普拉斯变换的定义、收敛域

4.3 拉普拉斯变换的基本性质

4.4 拉普拉斯逆变换

4.5 用拉普拉斯逆变换法分析电路、S域原件模型

4.6 系统函数（网络函数）

4.7 由系统函数零、极点分布决定时域特性

4.8 由系统函数零、极点分布决定频响特性

4.9 二阶谐振系统的S平面分析

4.10 全通函数与最小相移函数的零、极点分布

4.11 线性系统的稳定性

4.12 双边拉普拉斯变换

4.13 拉普拉斯变换与傅里叶变换的关系

- 拉普拉斯变换的发展史：
  - 19世纪末，英国工程师赫维赛德（O. Heaviside, 1850-1925）发明算子法解决电工程计算中的一些基本问题，但数学上不够严谨。
  - 后人在法国数学家拉普拉斯（P. S. Laplace, 1749-1825）著作中找到可靠数学依据，重新给予严密的数学定义，为之取名为拉普拉斯变换（LT），简称拉氏变换。
- 拉普拉斯变换在以下领域是强有力的工具：
  - 在电路理论研究中；
  - 在连续线性时不变系统的分析中；
  - 在求解线性时不变系统的常系数微分方程时。

4.1 引言

4.2 拉普拉斯变换的定义、收敛域

4.3 拉普拉斯变换的基本性质

4.4 拉普拉斯逆变换

4.5 用拉普拉斯逆变换法分析电路、S域原件模型

4.6 系统函数（网络函数）

4.7 由系统函数零、极点分布决定时域特性

4.8 由系统函数零、极点分布决定频响特性

4.9 二阶谐振系统的S平面分析

4.10 全通函数与最小相移函数的零、极点分布

4.11 线性系统的稳定性

4.12 双边拉普拉斯变换

4.13 拉普拉斯变换与傅里叶变换的关系

### 4.2.1 从傅氏变换到拉氏变换

#### 傅里叶变换 (FT)

- 优点：物理概念清楚

- 缺点：

(1) 只能处理符合狄里赫利条件的信号（傅里叶变换的充分不必要条件）：

$$\int_{-\infty}^{\infty} |f(t)| dt < \infty$$

而有些信号不满足绝对可积条件，因而其信号的分析受限。

(2) 在求时域响应时运用傅里叶逆变换对频率进行的无穷积分求解困难。

$$f(t) = F^{-1}[F(\omega)] = \frac{1}{2\pi} \int_{-\infty}^{\infty} F(\omega) e^{j\omega t} d\omega$$

从傅里叶变换到拉普拉斯变换

乘一衰减因子

有一些信号不满足狄里赫利条件，FT不存在：

- $u(t)$

- 增长信号  $e^{\alpha t}$  ( $\alpha > 0$ )

- 周期信号  $\cos \omega_1 t$



• 若乘一衰减因子  $e^{-\sigma t}$ ， $\sigma$  为任意实数，则  $f(t)e^{-\sigma t}$  收敛，满足狄里赫利条件。

- $u(t)e^{-\sigma t}$

- $e^{\alpha t}e^{-\sigma t}$  ( $\sigma > \alpha$ )

- $e^{-\sigma t} \cos \omega_1 t$

### 4.2.2 拉普拉斯变换 (LT)

信号  $f(t)$ , 乘以衰减因子  $e^{-\sigma t}$  ( $\sigma$  为任意实数) 后容易满足绝对可积条件, 依傅里叶变换定义:

$$\begin{aligned} F_1(\omega) &= F[f(t) \cdot e^{-\sigma t}] = \int_{-\infty}^{+\infty} [f(t) e^{-\sigma t}] \cdot e^{-j\omega t} dt \\ &= \int_{-\infty}^{+\infty} f(t) \cdot e^{-(\sigma + j\omega)t} dt = F(\sigma + j\omega) \end{aligned}$$

令  $\sigma + j\omega = s$ , 具有频率的量纲, 称为复频率。

则

$$F(s) = \int_{-\infty}^{\infty} f(t) e^{-st} dt$$

$$f(t) \xleftrightarrow{LT} F(s)$$

### 4.2.3 拉氏逆变换 ( $LT^{-1}$ )

$$F(\sigma + j\omega) = \int_{-\infty}^{\infty} f(t) e^{-(\sigma + j\omega)t} dt = \int_{-\infty}^{\infty} [f(t) e^{-\sigma t}] e^{-j\omega t} dt$$

$f(t) e^{-\sigma t}$  是  $F(\sigma + j\omega)$  的傅里叶逆变换

$$f(t) e^{-\sigma t} = \frac{1}{2\pi} \int_{-\infty}^{\infty} F(\sigma + j\omega) e^{j\omega t} d\omega$$

两边同乘以  $e^{\sigma t}$

$$f(t) = \frac{1}{2\pi} \int_{-\infty}^{\infty} F(\sigma + j\omega) e^{(\sigma + j\omega)t} d\omega$$

其中:  $s = \sigma + j\omega$ ; 若  $\sigma$  取常数, 则  $ds = j d\omega$

积分限: 对  $\omega: \int_{-\infty}^{\infty} \Rightarrow$  对  $s: \int_{\sigma - j\infty}^{\sigma + j\infty}$

所以

$$f(t) = \frac{1}{2\pi j} \int_{\sigma - j\infty}^{\sigma + j\infty} F(s) e^{st} ds$$

一般不用定义式求逆变换



### 4.2.4 拉氏变换对

$$\begin{cases} F(s) = L[f(t)] = \int_{-\infty}^{\infty} f(t)e^{-st} dt & \text{正变换} \\ f(t) = L^{-1}[F(s)] = \frac{1}{2\pi j} \int_{\sigma-j\infty}^{\sigma+j\infty} F(s)e^{st} ds & \text{逆变换} \end{cases}$$

双边拉氏变换

记作:  $f(t) \leftrightarrow F(s)$ ,  $f(t)$  称为原函数,  $F(s)$  称为象函数。

考虑到实际信号都是因果信号:

所以  $F(s) = \int_0^{\infty} f(t)e^{-st} dt$

单边拉氏变换

在算子法中由于未能表示出初始条件的作用，只好在运算过程中做出一些规定，

限制某些因子相消，如： $\frac{1}{p} px = \int_{-\infty}^t (\frac{d}{dt} x) \cdot d\tau = x(t) - x(-\infty) \neq x$

拉氏变换已考虑了初始条件，

$$F(s) = L[f(t)] = \int_{0_-}^{\infty} f(t) e^{-st} dt$$

自动包含0<sub>-</sub>条件

$$L\left[\frac{df(t)}{dt}\right] = sF(s) - f(0_-)$$

初值，若无跳变则为0

证明：

$$\int_{0_-}^{\infty} f'(t) e^{-st} dt = f(t) e^{-st} \Big|_0^{\infty} - \int_0^{\infty} f(t) (e^{-st})' dt \quad \text{分部积分法}$$

$$\begin{aligned} &= f(\infty) e^{-s\infty} - f(0_-) + s \int_0^{\infty} f(t) e^{-st} dt \\ &= sF(s) - f(0_-) \end{aligned}$$

已知信号  $x(t) = e^{-\alpha t}u(t)$ ，其拉普拉斯变换为（ ）

A  $-\frac{1}{s + \alpha}$

B  $\frac{\alpha}{s}$

C  $e^{-\alpha s}$

D  $\frac{1}{s + \alpha}$

提交

例4-1:  $x(t)=e^{-\alpha t}u(t)$ , 求其拉普拉斯变换 $X(s)$ 。

解: 由定义

$$\begin{aligned} X(s) &= \int_{-\infty}^{\infty} x(t)e^{-st} dt = \int_{-\infty}^{\infty} e^{-\alpha t} u(t) e^{-st} dt \\ &= \int_0^{\infty} e^{-\alpha t} e^{-st} dt = \int_0^{\infty} e^{-(\alpha+s)t} dt = \int_0^{\infty} e^{-(\alpha+\sigma)t} e^{-j\omega t} dt \end{aligned}$$

当 $\text{Re}\{\alpha+s\}=\alpha+\sigma>0$ , 即 $\sigma>-\alpha$ , 以上积分可积

$$X(s) = \frac{1}{-(\alpha+s)} e^{-(\alpha+s)t} \Big|_0^{\infty} = \frac{1}{(\alpha+s)}, \quad \sigma > -\alpha$$

所以

$$e^{-\alpha t} u(t) \xleftrightarrow{LT} \frac{1}{s+\alpha}, \quad \text{Re}\{s\} > -\alpha$$

### 拉普拉斯变换法(LT)

- **优点：**
  1. 将微积分方程求解问题转化为代数方程求解。
  2. 进行变换时，初始条件被自动计入，无需计算从 $0_-$ 到 $0_+$ 状态的跳变。
- **缺点：**

物理概念不如傅氏变换那样清楚。

拉普拉斯变换可以看成是傅里叶变换的推广。它们之间在表达式和基本性质上有许多类似。

本章的学习方法：**注意与傅里叶变换的对比**，便于理解与记忆。

FT:

$$\begin{cases} F(\omega) = \mathcal{F}[f(t)] = \int_{-\infty}^{\infty} f(t) e^{-j\omega t} dt & \text{正变换} \\ f(t) = \mathcal{F}^{-1}[F(\omega)] = \frac{1}{2\pi} \int_{-\infty}^{+\infty} F(\omega) e^{j\omega t} d\omega & \text{逆变换} \end{cases}$$

LT:

$$\begin{cases} F(s) = \mathcal{L}[f(t)] = \int_0^{\infty} f(t) e^{-st} dt & \text{正变换} \\ f(t) = \mathcal{L}^{-1}[F(s)] = \frac{1}{2\pi j} \int_{\sigma-j\infty}^{\sigma+j\infty} F(s) e^{st} ds & \text{逆变换} \end{cases}$$

FT: 实频率  $\omega$  是振荡频率

LT: 复频率  $s = \sigma + j\omega$      $\omega$  是振荡频率,  $\sigma$  控制衰减的速度

### 傅里叶变换 vs. 拉普拉斯变换

傅里叶变换	拉普拉斯变换
自变量 $\omega$ 是 <b>实数</b> ，有明确的物理意义—— <b>频率</b> 。	自变量 $s=\sigma+j\omega$ 是 <b>复数</b> ，其物理意义不明确，通常称其为 <b>复频率</b> 。
信号的傅里叶变换反映了不同频率分量的振幅大小与起始相位的值，即信号的 <b>频谱</b> 。	信号的拉氏变换 <b>没有明确的物理意义</b> 。
系统单位冲激响应的傅里叶变换，称作系统的 <b>频率响应</b> ，它表示不同频率的正余弦信号作用于系统时，系统输出的幅度与相位随输入频率改变而改变的特性。	系统单位冲激响应的拉氏变换，称为系统的 <b>系统函数</b> 。它虽然较抽象，但是在表征系统特性及系统分析时起重要的作用。
主要应用于信号与系统的 <b>频率分析</b> ，如调制、滤波、抽样等的频谱分析。	主要应用于 <b>微分方程的求解、系统函数及其零极点分析</b> 等。

### 4.2.5 拉普拉斯变换的收敛域

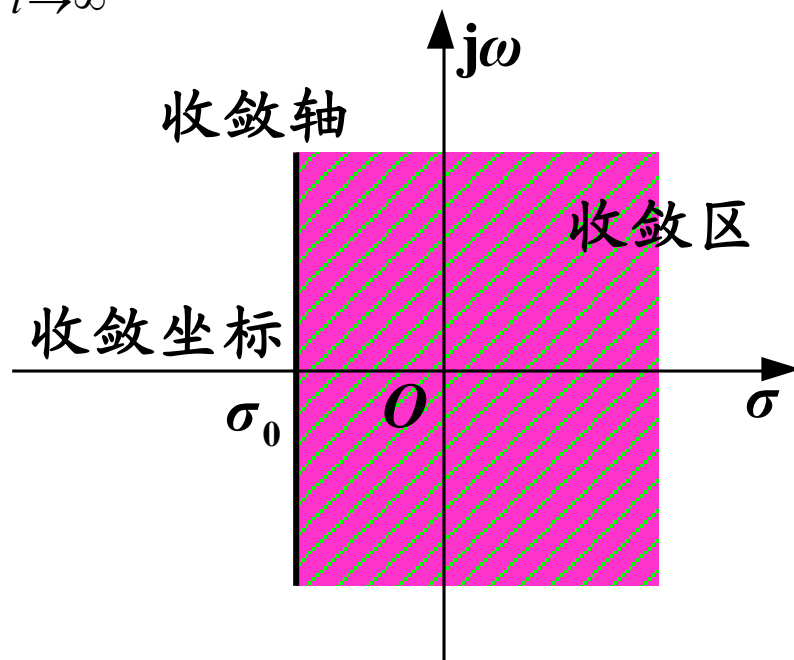
拉普拉斯变换的存在伴随着条件，就是它的收敛域。

使信号 $f(t)e^{-\sigma t}$ 满足绝对可积的 $\sigma$ 的值域，是 $F(s)$ 的收敛域，记为**ROC** (region of convergence)。

数学描述：

$$\lim_{t \rightarrow \infty} f(t) e^{-\sigma t} = 0 \quad (\sigma > \sigma_0)$$

图形表示：





说明:

1. 满足  $\lim_{t \rightarrow \infty} f(t)e^{-\sigma t} = 0$  ( $\sigma > \sigma_0$ ) 的信号称为指数阶信号;

2. 有界的非周期信号的拉氏变换一定存在, 收敛域是整个s平面。

$$3. \lim_{t \rightarrow \infty} t^n e^{-\sigma t} = 0 \quad (\sigma > 0)$$

$$4. \lim_{t \rightarrow \infty} e^{\alpha t} e^{-\sigma t} = 0 \quad (\sigma > \alpha)$$

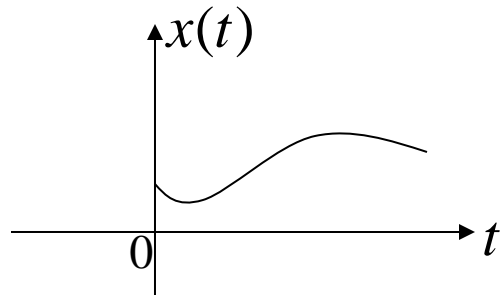
5.  $e^{t^2}$  等信号比指数函数增长快, 找不到收敛坐标, 为非指数阶信号, 无法进行拉氏变换。

6. 一般求函数的单边拉氏变换可以不加注其收敛范围。

### 4.2.6 单边拉氏变换

在系统分析时，我们常用的是**单边拉氏变换**：

$$X(s) = \int_{0^-}^{\infty} x(t) e^{-st} dt$$



因为实际系统是**因果**的，信号总是在某个时刻才开始作用于系统，我们可以把这个时刻看作 $t=0$ ；

以上定义式中的**积分的下限取 $0_-$** ，考虑变换对冲激信号也是有效的；单边拉氏变换的**收敛域是收敛轴的右半平面**： $\text{Re}\{s\} > \sigma_0$ ，以后一般不具体标示变换的收敛域。

本章及以后各章，若没有特别说明，均使用**单边拉氏变换**。

### 4.2.7 常用函数的拉氏变换

#### (1) 阶跃函数

$$L[u(t)] = \int_0^{\infty} 1 \cdot e^{-st} dt = \frac{1}{-s} e^{-st} \Big|_0^{\infty} = \frac{1}{s}$$

#### (2) 指数函数

$$L[e^{-\alpha t} u(t)] = \int_0^{\infty} e^{-\alpha t} e^{-st} dt = \frac{e^{-(\alpha+s)t}}{-(\alpha+s)} \Big|_0^{\infty} = \frac{1}{\alpha+s} \quad (\sigma > -\alpha)$$

#### (3) 单位冲激信号

$$L[\delta(t)] = \int_0^{\infty} \delta(t) \cdot e^{-st} dt = 1 \quad \text{全}s\text{域平面收敛}$$

$$L[\delta(t-t_0)] = \int_0^{\infty} \delta(t-t_0) \cdot e^{-st} dt = e^{-st_0}$$

(4)  $t^n$

$$L[t^n] = \int_0^{\infty} t^n \cdot e^{-st} dt = \left. \frac{t^n}{-s} e^{-st} \right|_0^{\infty} + \frac{n}{s} \int_0^{\infty} t^{n-1} e^{-st} dt = \frac{n}{s} \int_0^{\infty} t^{n-1} e^{-st} dt$$

$$\text{所以 } L[t^n] = \frac{n}{s} L[t^{n-1}]$$

$$n=1 \quad L[t] = \frac{1}{s} L[t^0 u(t)] = \frac{1}{s} \cdot \frac{1}{s} = \frac{1}{s^2}$$

$$n=2 \quad L[t^2] = \frac{2}{s} L[t] = \frac{2}{s} \cdot \frac{1}{s^2} = \frac{2}{s^3}$$

$$n=3 \quad L[t^3] = \frac{3}{s} L[t^2] = \frac{3}{s} \cdot \frac{2}{s^3} = \frac{6}{s^4} \quad \dots$$

$$\text{所以 } L[t^n] = \frac{n!}{s^{n+1}}$$

### 常用信号的拉氏变换

时域信号 ( $t \geq 0$ )	S域信号
$u(t)$	$\frac{1}{s}$
$e^{-\alpha t}$	$\frac{1}{s + \alpha}$
$\delta(t)$	1
$\delta(t - t_0)$	$e^{-st_0}$
$t^n$	$\frac{n!}{s^{n+1}}$

- 4.1 引言
- 4.2 拉普拉斯变换的定义、收敛域
- 4.3 拉普拉斯变换的基本性质
- 4.4 拉普拉斯逆变换
- 4.5 用拉普拉斯逆变换法分析电路、S域原件模型
- 4.6 系统函数（网络函数）
- 4.7 由系统函数零、极点分布决定时域特性
- 4.8 由系统函数零、极点分布决定频响特性
- 4.9 二阶谐振系统的S平面分析
- 4.10 全通函数与最小相移函数的零、极点分布
- 4.11 线性系统的稳定性
- 4.12 双边拉普拉斯变换
- 4.13 拉普拉斯变换与傅里叶变换的关系

### 主要内容:

线性性质

时域积分

$s$ 域平移（频域移位）

初值定理

卷积定理

$s$ 域积分

时域微分

延时（时域移位）

尺度变换

终值定理

$s$ 域微分

注意：此处所指均为单边拉氏变换的性质，只适用于因果信号，即满足  $f(t)=f(t)u(t)$  的信号  $f(t)$ 。

### 4.3.1 线性

如有:  $f_i(t) \xleftrightarrow{LT} F_i(s)$

$$\text{则 } f(t) = \sum_{i=1}^N a_i f_i(t) \xleftrightarrow{LT} F(s) = \sum_{i=1}^N a_i F_i(s)$$

例4-2: 利用线性性质求  $x(t) = e^{-t}u(t) - e^{-2t}u(t)$  的拉氏变换。

$$\text{解: } e^{-t}u(t) \xleftrightarrow{LT} \frac{1}{s+1} \quad e^{-2t}u(t) \xleftrightarrow{LT} \frac{1}{s+2}$$

$$\text{所以 } x(t) \xleftrightarrow{LT} \frac{1}{s+1} - \frac{1}{s+2} = \frac{1}{(s+1)(s+2)}$$



例4-3：利用拉氏变换的性质，求 $\cos(\omega_0 t)u(t)$ 的拉氏变换。

解：

$$\cos(\omega_0 t)u(t) = \frac{1}{2} \left( e^{j\omega_0 t} + e^{-j\omega_0 t} \right) u(t)$$

$$e^{j\omega_0 t} u(t) \xleftrightarrow{LT} \frac{1}{s - j\omega_0}$$

$$e^{-j\omega_0 t} u(t) \xleftrightarrow{LT} \frac{1}{s + j\omega_0}$$

$$\therefore \cos(\omega_0 t)u(t) \xleftrightarrow{LT} \frac{s}{s^2 + \omega_0^2}$$

### 4.3.2 延时性（时移性）

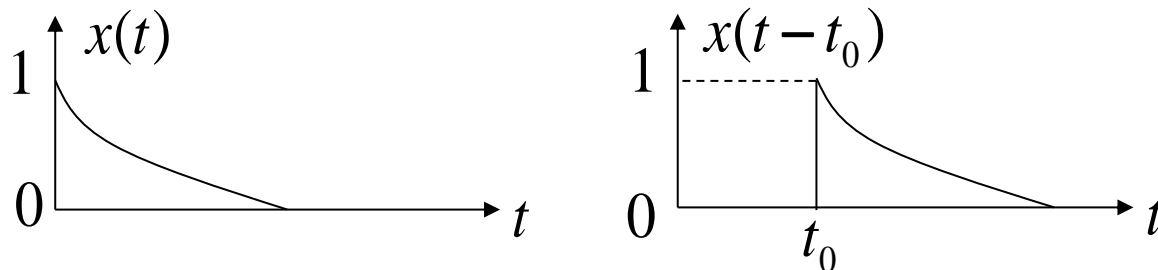
$$\text{设 } f(t) \xleftrightarrow{LT} F(s)$$

$$f(t-t_0)u(t-t_0) \xleftrightarrow{LT} F(s)e^{-st_0}$$

**注意：**时移后的信号若为非因果信号不可用此性质！可结合课后习题4-2理解。

**注意：**在前述单边拉氏变换的定义下，

$$e^{-\alpha t}u(t) \text{ 的延时是 } e^{-\alpha(t-t_0)}u(t-t_0)$$





信号  $f(t) = u(t) - u(t - 1)$  的拉氏变换  $F(s)$  为 ( )

☐ A  $F(s) = \frac{1 + e^{-s}}{s}$

☒ B  $F(s) = \frac{1 - e^{-s}}{s}$

☐ C  $F(s) = \frac{1 - s}{s}$

☐ D  $F(s) = \frac{1 - s}{e^{-s}}$

提交

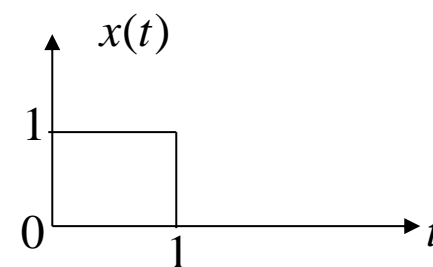
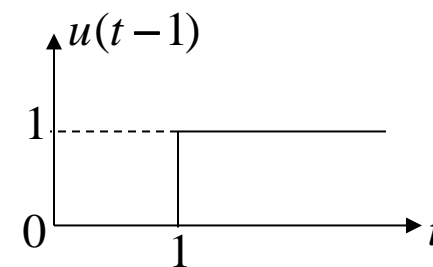
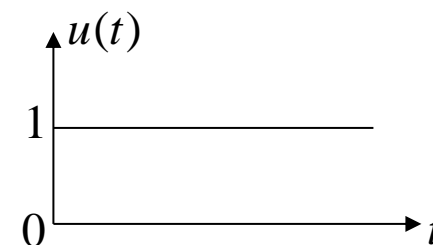
例4-4：求  $x(t) = u(t) - u(t-1)$  的拉氏变换。

解：

$$u(t) \xleftrightarrow{LT} \frac{1}{s}$$

$$u(t-1) \xleftrightarrow{LT} \frac{1}{s} e^{-s}$$

$$\text{所以 } x(t) = u(t) - u(t-1) \xleftrightarrow{LT} \frac{1 - e^{-s}}{s}$$



### 4.3.3 s域平移性（频移性）

设  $f(t) \xleftrightarrow{LT} F(s)$

s域平移性是  $f(t)e^{s_0 t} \xleftrightarrow{LT} F(s - s_0)$

**例4-5：** 利用s域平移性求 $e^{-\alpha t}u(t)$ 和 $te^{-\alpha t}u(t)$ 的拉氏变换。

$$u(t) \xleftrightarrow{LT} \frac{1}{s}$$

$$tu(t) \xleftrightarrow{LT} \frac{1}{s^2}$$

$$e^{-\alpha t}u(t) \xleftrightarrow{LT} \frac{1}{s + \alpha}$$

$$te^{-\alpha t}u(t) \xleftrightarrow{LT} \frac{1}{(s + \alpha)^2}$$

### 4.3.4 时域展缩性

如果有  $f(t) \xleftrightarrow{LT} F(s)$

$$f(at) \xleftrightarrow{LT} \frac{1}{a} F\left(\frac{s}{a}\right)$$

此处**常数** $a$ 应  $> 0$ ，否则信号发生反褶，对于单边拉氏变换，此性质就无意义。

**例4-6：**用时域展缩性求  $e^{-\alpha t}u(t)$  的拉氏变换。

$$e^{-t}u(t) \xleftrightarrow{LT} \frac{1}{s+1}$$

$$\text{于是 } e^{-\alpha t}u(t) \xleftrightarrow{LT} \frac{1}{\alpha} \frac{1}{\frac{s}{\alpha} + 1} = \frac{1}{\alpha} \frac{\alpha}{s + \alpha} = \frac{1}{s + \alpha}$$

如果有  $f(t)u(t) \xleftrightarrow{LT} F(s)$

既有延时又有时域展缩时，

$$f(at-b)u(at-b) \xleftrightarrow{LT} ? \quad (a > 0, b > 0)$$

先延时再做时域展缩，

$$f(t-b)u(t-b) \xleftrightarrow{LT} F(s)e^{-bs}$$

$$f(at-b)u(at-b) \xleftrightarrow{LT} \frac{1}{a} F\left(\frac{s}{a}\right) e^{-\frac{bs}{a}}$$

也可先做时域展缩再延时。

**例4-7：利用拉氏变换的性质，求 $\delta(3t - 2)$ 的拉氏变换。**

解法一：先延时再时域压缩

依据拉氏变换的时移性 $f(t - t_0)u(t - t_0) \xleftrightarrow{LT} F(s)e^{-st_0}$ 及 $\delta(t) \xleftrightarrow{LT} 1$ 可知：

$$\delta(t - 2) \xleftrightarrow{LT} e^{-2s}$$

由拉氏变换的时域展缩性 $f(at) \xleftrightarrow{LT} \frac{1}{a} F\left(\frac{s}{a}\right)$ 可知： $\delta(3t - 2) \xleftrightarrow{LT} \frac{1}{3} e^{-\frac{2}{3}s}$

解法二：先时域压缩再延时

由拉氏变换的时域展缩性 $f(at) \xleftrightarrow{LT} \frac{1}{a} F\left(\frac{s}{a}\right)$ 可知： $\delta(3t) \xleftrightarrow{LT} \frac{1}{3}$

依据拉氏变换的时移性 $f(t - t_0)u(t - t_0) \xleftrightarrow{LT} F(s)e^{-st_0}$ 有：

$$\delta(3t - 2) = \delta\left[3\left(t - \frac{2}{3}\right)\right] \xleftrightarrow{LT} \frac{1}{3} e^{-\frac{2}{3}s}$$



### 4.3.5 时域微分性

设  $f(t) \xleftrightarrow{LT} F(s)$

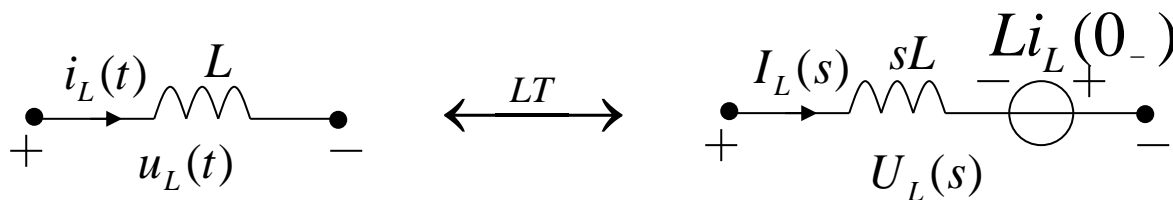
$$f'(t) \xleftrightarrow{LT} sF(s) - f(0_-)$$

$$f^{(n)}(t) \xleftrightarrow{LT} s^n F(s) - \sum_{i=0}^{n-1} s^{n-i-1} f^{(i)}(0_-)$$

零状态条件下，时域微分一次，频域乘一个s

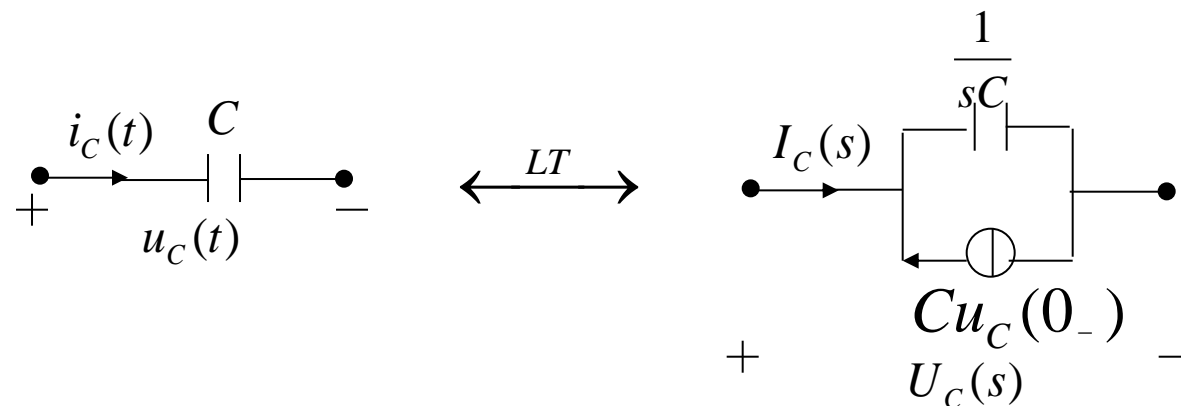
例4-8：求电感两端电压  $u_L(t)$  的拉氏变换。

解：  $u_L(t) = L \frac{di_L(t)}{dt} \xleftrightarrow{LT} U_L(s) = sLI_L(s) - Li_L(0_-)$



同样，对于电容中的电流有

$$i_C(t) = C \frac{du_C(t)}{dt} \xleftrightarrow{LT} I_C(s) = sCU_C(s) - Cu_C(0_-)$$



### 4.3.6 时域积分性

$$f(t) \xleftrightarrow{LT} F(s)$$

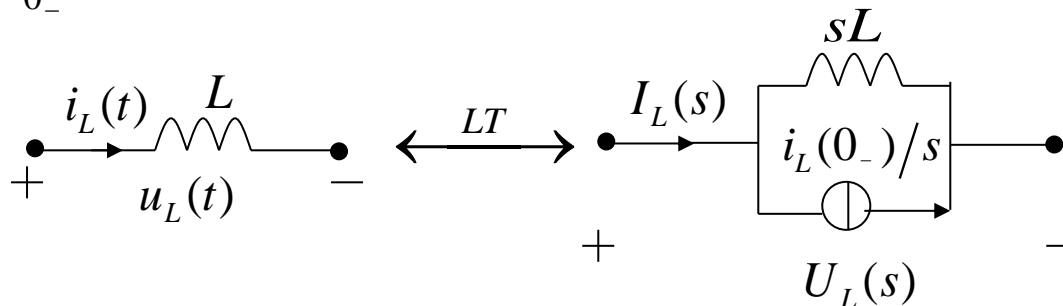
则  $y(t) = \int_{-\infty}^t f(\tau) d\tau = \int_{-\infty}^{0_-} f(\tau) d\tau + \int_{0_-}^t f(\tau) d\tau = y(0_-) + \int_{0_-}^t f(\tau) d\tau$

$$y(t) = \int_{-\infty}^t f(\tau) d\tau \xleftrightarrow{LT} \frac{y(0_-)}{s} + \frac{F(s)}{s} \quad \leftarrow \text{借助分部积分法, 详见教材195页。}$$

例4-9: 求电感中的电流  $i_L(t)$  的拉氏变换。

解: 
$$i_L(t) = \frac{1}{L} \int_{-\infty}^t u_L(\tau) d\tau = i_L(0_-) + \frac{1}{L} \int_{0_-}^t u_L(\tau) d\tau$$

于是

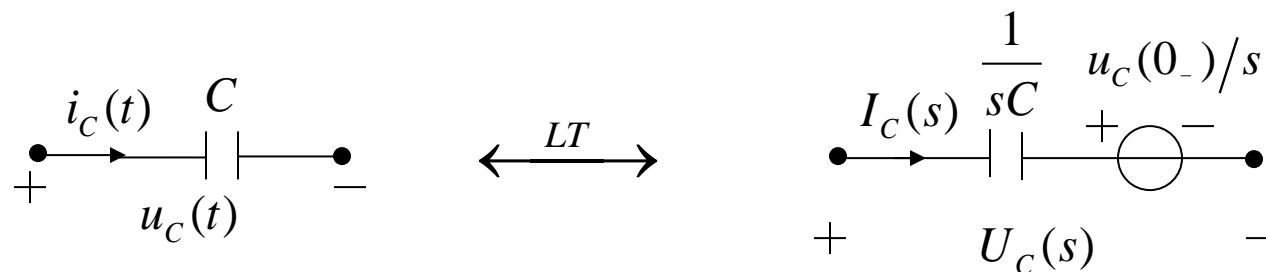
$$i_L(t) \xleftrightarrow{LT} \frac{i_L(0_-)}{s} + \frac{U_L(s)}{sL}$$


同样，**电容两端的电压**

$$u_C(t) = \frac{1}{C} \int_{-\infty}^t i_C(\tau) d\tau = u_C(0_-) + \frac{1}{C} \int_{0_-}^t i_C(\tau) d\tau$$

其拉氏变换为

$$u_C(t) \xleftrightarrow{LT} \frac{u_C(0_-)}{s} + \frac{I_C(s)}{sC}$$



拉氏变换的**时域微积分性质**，在作**电路的瞬态分析**时，应用较为便利。

### 4.3.7 s域微分性

设  $f(t) \xleftrightarrow{LT} F(s)$

s域微分性  $-tf(t) \xleftrightarrow{LT} \frac{dF(s)}{ds} \quad tf(t) \xleftrightarrow{LT} -\frac{dF(s)}{ds}$

例4-10：已知  $e^{-\alpha t}u(t) \xleftrightarrow{LT} \frac{1}{s+\alpha}$ ，利用s域微分性求  $te^{-\alpha t}u(t)$  的拉氏变换。

解：  $\frac{d}{ds} \left[ \frac{1}{s+\alpha} \right] = \frac{-1}{(s+\alpha)^2}$

于是  $te^{-\alpha t}u(t) \xleftrightarrow{LT} \frac{1}{(s+\alpha)^2}$

### 4.3.8 s域积分性

$$\frac{f(t)}{t} \xleftrightarrow{LT} \int_s^{\infty} F(\lambda) d\lambda$$

例4-11: 已知  $(1 - e^{-\alpha t})u(t) \xleftrightarrow{LT} \frac{1}{s} - \frac{1}{s + \alpha}$ , 求  $\frac{1 - e^{-\alpha t}}{t}u(t)$  的拉氏变换。

解:

$$\begin{aligned} \int_s^{\infty} \left( \frac{1}{\lambda} - \frac{1}{\lambda + \alpha} \right) d\lambda &= \ln \lambda \Big|_s^{\infty} - \ln(\lambda + \alpha) \Big|_s^{\infty} \\ &= -\ln s + \ln(s + \alpha) \\ &= -\ln \frac{s}{s + \alpha} \end{aligned}$$

于是

$$\frac{1 - e^{-\alpha t}}{t} u(t) \xleftrightarrow{LT} -\ln \frac{s}{s + \alpha}$$

### 4.3.9 卷积定理(时域、频域)

设  $f_1(t) \xleftrightarrow{LT} F_1(s), f_2(t) \xleftrightarrow{LT} F_2(s)$

则  $f_1(t) * f_2(t) \xleftrightarrow{LT} F_1(s) \cdot F_2(s)$

$$f_1(t)f_2(t) \xleftrightarrow{LT} \frac{1}{2\pi j} F_1(s) * F_2(s)$$

利用拉氏变换的定义式和延时性，即可证明此定理。

例4-12：已知系统的单位冲激响应和输入如下，求零状态响应 $y(t)$ 。

$$h(t) = e^{-\alpha t} u(t), \quad x(t) = u(t)$$

解：求拉氏变换  $h(t) = e^{-\alpha t} u(t) \xleftrightarrow{LT} \frac{1}{s + \alpha}, \quad x(t) = u(t) \xleftrightarrow{LT} \frac{1}{s}$

于是  $y(t) = x(t) * h(t) \xleftrightarrow{LT} \frac{1}{s(s + \alpha)} = \frac{1}{\alpha} \left( \frac{1}{s} - \frac{1}{s + \alpha} \right)$

$$y(t) = \frac{1}{\alpha} (1 - e^{-\alpha t}) u(t)$$

### 4.3.10 初值与终值定理

设信号 $f(t)$ 是因果的，其与其导数的拉氏变换存在，则

#### 1、初值定理：

$$\lim_{t \rightarrow 0_+} f(t) = f(0_+) = \lim_{s \rightarrow \infty} sF(s)$$

高频分量（ $\omega \rightarrow \infty$ ），表示  
 $t=0$ 时接入信号的突变。

若 $f(t)$ 包含冲激函数 $k\delta(t)$ ,

$$F(s) = k + F_1(s), F_1(s) \text{ 为真分式}$$

$$\lim_{t \rightarrow 0_+} f(t) = \lim_{s \rightarrow \infty} [sF(s) - ks] = \lim_{s \rightarrow \infty} sF_1(s)$$

#### 2、终值定理：若 $f(\infty)$ 存在，于是有

$$\lim_{t \rightarrow \infty} f(t) = f(\infty) = \lim_{s \rightarrow 0} sF(s)$$

直流分量（ $\omega \rightarrow 0$ ），得到电  
路稳态的终值。

当电路等系统较为复杂时，无需做拉氏逆变换，即可直接求出函数的初值和终值。



例4-13: 已知  $u(t) \xleftrightarrow{LT} \frac{1}{s}$ , 利用拉氏变换性质分别求  $u(t)$  和  $\cos(\omega_0 t)u(t)$  的初值和终值。

解:  $u(t)|_{t=0_+} = u(t)|_{t=\infty} = s \cdot \frac{1}{s} = 1$

$$\cos(\omega_0 t)u(t) \xleftrightarrow{LT} \frac{s}{s^2 + \omega_0^2} \quad \cos(\omega_0 t)|_{t=0_+} = \lim_{s \rightarrow \infty} s \frac{s}{s^2 + \omega_0^2} = 1$$

$\cos(\omega_0 t)u(t)$  为等幅震荡函数 ( $sF(s)$  分母的根在虚轴上共轭对称), 其终值不存在。

例4-14：利用拉氏变换的性质，求以下信号的拉氏变换。

$$(1) te^{-\alpha t} \cos(\omega_0 t)u(t) \quad (2) \frac{\sin t}{t} u(t)$$

解：（1）应用频移性和s域微分性

$$\begin{aligned} e^{-\alpha t} \cos(\omega_0 t)u(t) &\xleftrightarrow{LT} \frac{s + \alpha}{(s + \alpha)^2 + \omega_0^2} \\ -te^{-\alpha t} \cos(\omega_0 t)u(t) &\xleftrightarrow{LT} \frac{d}{ds} \left[ \frac{s + \alpha}{(s + \alpha)^2 + \omega_0^2} \right] \\ \frac{d}{ds} \left[ \frac{s + \alpha}{(s + \alpha)^2 + \omega_0^2} \right] &= \frac{\omega_0^2 - (s + \alpha)^2}{[(s + \alpha)^2 + \omega_0^2]^2} \\ \therefore te^{-\alpha t} \cos(\omega_0 t)u(t) &\xleftrightarrow{LT} \frac{(s + \alpha)^2 - \omega_0^2}{[(s + \alpha)^2 + \omega_0^2]^2} \end{aligned}$$

### (2) 应用s域积分性

$$\because \sin t u(t) \xleftrightarrow{LT} \frac{1}{s^2 + 1}$$

$$\frac{\sin t}{t} u(t) \xleftrightarrow{LT} \int_s^{\infty} \frac{d\lambda}{\lambda^2 + 1} = \arctan s \Big|_s^{\infty} = \frac{\pi}{2} - \arctan s$$

$$\therefore \frac{\sin t}{t} u(t) \xleftrightarrow{LT} \frac{\pi}{2} - \arctan s$$

## 总结

性质	时域	复频域
线性	$\sum_{i=1}^N a_i f_i(t)$	$\sum_{i=1}^N a_i F_i(s)$
延时性	$f(t-t_0)u(t-t_0)$	$e^{-st_0} F(s)$
频移性	$f(t)e^{-at}$	$F(s+a)$
时域展缩性	$f(at) \ (a > 0)$	$\frac{1}{a} F\left(\frac{s}{a}\right)$
时域卷积定理	$f_1(t) * f_2(t)$	$F_1(s) \cdot F_2(s)$
频域卷积定理	$f_1(t) \cdot f_2(t)$	$F_1(s) * F_2(s) / (2\pi j)$

注意：上述性质只适用于因果信号，即满足 $f(t)=f(t)u(t)$ 的信号 $f(t)$ 。

## 总结

性质	时域	复频域
时域微分性	$\frac{df(t)}{dt}$	$SF(s) - f(0^-)$
时域积分性	$\int_{-\infty}^t f(\tau) d\tau$	$\frac{F(s)}{s} + \frac{f^{-1}(0^-)}{s}$
s域微分性	$-tf(t)$	$\frac{dF(s)}{ds}$
s域积分性	$f(t)/t$	$\int_s^{\infty} F(\lambda) d\lambda$
初值定理	$\lim_{t \rightarrow 0^+} f(t) = f(0^+) = \lim_{s \rightarrow \infty} SF(s)$	
终值定理	$\lim_{t \rightarrow \infty} f(t) = f(\infty) = \lim_{s \rightarrow 0} SF(s)$	

注意：上述性质只适用于因果信号，即满足 $f(t)=f(t)u(t)$ 的信号 $f(t)$ 。

## 作业

基础题（需提交）：4-1，4-2，4-3（1）（2）（3）。

加强题（选做，不提交）：4-3（4）（5）。